

# 高等材料力學

(上冊)

## ADVANCE



許海龍教授編著  
五洲出版社總經銷

PDG

**ADVANCE**

# **高等材料力學**

**(上冊)**

**許海龍教授編著**

**五洲出版社 總經銷**

# 序 言

本書 “Advanced strength of Materials” 原著作是 J.P. Den Hartog 教授。內容共分 9 章，並附習題解答，為工學院學生之福音。

此譯本除分段指明要點外，並隨譯附加公式之引導，是為修習之便，尤利課外之參考。而書中專有名詞之採用係教學上多次磋商之所得；至於簡漏之處，並祈先進多加指正。

本書承蒙 苛系主任淵博之鼓勵與指導，及由李玉芝小姐之幫忙校核，特此致謝。

許海龍

民國六十三年元月

# 符 號

- A* 表一常數  
*B* 表受扭轉之中空薄壁構件之面積〔參閱 p.29〕  
*a* 表長度  
*b* 表寬或闊  
*C* 扭轉剛性〔圓截面為  $GI_p$  〕  
 $C_1$  為積分常數  
*D* 平板常數，參閱 p.129 之式 (64)  
*E* 彈性模數，單位為  $\text{lb/in}^2$   
 $F_{1,2,3,4}$  為彈性基礎函數，參閱 p.179 之式 (88) 及表  
*G* 剪力模數，單位為  $\text{lb/in}^2$   
*g* 重力加速度  
*h* 表高度  
*I* 慣性力矩  
 $I_p$  極慣性矩  
*j* 為虛數單位，等於  $\sqrt{-1}$   
*k* 基礎模數，單位為  $\text{lb/in}^2$ ，參閱 p.174 之式 (84)  
*k* 彈簧常數， $\text{lb/in}$   
*L* 受扭轉之中空薄壁構件之周長，參閱 p.30  
*l* 表長度  
*M* 力矩  
 $M_b$  彎矩…(樑者)  
 $M_t$  扭矩或扭力  
 $M_1$  平板割切後，其單位長度上之力矩，參閱 p.129 之圖  
*n* 表正方向或垂直方向  
*n* 表一數，常表一指數  
*P* 表力，單位磅  
 $P^*$  筆紙挪氏之“縮減力”參閱 p.411  
*p* 壓力，在表面上為  $\text{lb/in}^2$ ，在線或樑上為  $\text{lb/in}$

$p_1, p_0$	表內壓力及外壓力
$q$	樑上單位長度上之作用負荷
$R$	較大半徑，指問題中之最大半徑者。
$R_m, R_t, R_z, R_y$	分別表曲率半徑，爲子午線向，切線向， $x$ 線向及 $y$ 線向者
$r$	一般之半徑，在公式中時爲變數
$r_i, r_o$	分表內半徑及外半徑
$S$	樑上之剪力，磅
$S_1$	板割切後單位長度之剪力
$s$	表應力，單位 $\text{lb/in}^2$
$ds$	周界長上之一小單元
$s_n$	正應力
$s_t$	切向應力
$s_r$	徑向應力
$s_s$	剪應力；在直角座標系中之慣號，參閱 p.215 圖 6-115； 在極座標系中之慣號，參閱 p. 229 之圖 6-121。
$T$	表薄膜之張力 ( $\text{lb/in}$ )，或索上張力 ( $\text{lb}$ )
$T_{xy}$	表面之扭轉，參閱 p. 122 之式 (59a)
$T_1$	板割切後，其單位長度內之扭矩
$t$	表厚度 (吋)
$U$	貯藏能
$U^*$	補充能，參閱 p.272
$u$	表 $x$ 向上之位移；或在旋轉之對稱下，表切徑向之位移值
$u$	由 p.294 至 p.296 中僅表 “微變值”
$V$	速率；有時係爲圓盤之周速
$v$	表 $y$ 向上之位移值；或在旋轉之對稱下，表切向之位移值
$W$	表重量 (磅)
$w$	表 $z$ 向上之位移值
$w$	在正( $z$ )線向上板之撓度
$X$	表力，係支座上未知之反作用力
$y$	用以屈伏時之附記號

- $Z$  彎曲時之截面模數 =  $I/y_{max}$   
 $Z_1$  板割切後單位長度內之截面模數  
 $\alpha$  热膨胀係數  
 $\alpha$  表一角  
 $\alpha_{12}$  表一影響係數，參閱 p. 288 之式 (120)  
 $\beta$  表一角  
 $\beta$  在彈性基礎上樑之係數，參閱 p. 175 之式 (86)  
 $\beta_{12}$  反影響係數，參閱 p. 290  
 $\gamma$  表單位體積內之重量 =  $\rho g$   
 $\gamma$  表一角，或剪應變  
 $\gamma_x$  係  $xy$  面內之剪應變  
 $\delta$  指撓度 (吋)  
 $\Delta$  表一增加值，如用  $\Delta r$ ,  $\Delta x$  等  
 $\Delta$  即  $\nabla^2$  為藍博萊斯 (Laplace) 運算符號，或“爹兒”  
 Gel 之運算符號參閱 p. 133  
 $\epsilon$  表應變量，有時指一微小值  
 $\epsilon_x$  在  $x$  向上之應變值  
 $\epsilon_r$  在徑向上之應變值； $\epsilon_r$  為切向上之應變值  
 $\lambda$  表一長度，參閱 p. 82 式 (51)  
 $\lambda$  表曲管之係數，參閱 p. 311 式 (125)  
 $\mu$  表卜生氏比 (Poisson's ratio)，鋼材約為 0.3  
 $\rho$  為密度 = 單位容積內所含之質量  
 $\Phi$  表一應力函數；聖恩凡能特氏應力函數 (參閱 p. 6)；  
 亞瑞氏應力函數 (參閱 p. 216)；傑克遜氏應力函數  
 (參閱 p. 47)  
 $\varphi$  表一角  
 $\Psi$  表流線函數 (參閱 p. 23)。傑克遜氏之等角函數 (參  
 閱 p. 48)  
 $\theta$  表一角或扭轉角  
 $\theta_1$  表單位長度內之扭轉角  
 $\omega$  表角速度

# 目 錄

序 言 .....	1
<b>第一章 扭 轉 .....</b>	<b>1</b>
1.1. 非圓形截面 (Non-circular Prisms) [1]	1.2. 聖恩凡能特氏理論 (Saint-Venant's Theory) [3]
1.3. 波郎達爾氏薄膜類推法 (Prandtl's Membrane Analogy) [12]	1.4. 凱爾文氏流體流動類推法 (Kelvin's Fluid-Flow Analogy) [23]
1.5. 中空剖面 (Hollow Sections) [27]	1.6. 剖面之屈曲 (Warping of the Cross-Sections) [35]
1.7. 可變直徑之圓軸 (Round Shafts of Variable Diameter) [43]	1.8. 傑克遜氏電氣類推法 (Jacobsen's Electrical Analogy) [53]
<b>第二章 旋轉之圓盤 .....</b>	<b>58</b>
2.1. 平圓盤 (Flat Disks) [58]	2.2. 變厚度之圓盤 (Gisks of Variable Thickness) [72]
2.3. 均等應力之圓盤 (Disk of Uniform Stress) [79]	
<b>第三章 薄殼內之薄膜應力 .....</b>	<b>86</b>
3.1. 一般理論 (General Theory) [86]	3.2. 應用 (Applications) [91]
3.3. 等強度之薄殼 (Shells of a Uniform Strength) [101]	3.4. 非等稱性之負荷 (Non-

Symmetrical Loading) [109]

<b>第四章 平板之彎曲</b> .....	121
4.1. 一般理論 (General Theory) [121]	4.2. 聖恩凡能得氏原理之簡易解法 (Simple Solutions; Saint-Venant's Principle) [134]
4.3. 圓形板 (Circular Plates) [145]	4.4. 解答總彙 (Catalogue of Results) [156]
4.5. "大撓度" 狀況 (Large Deflections) [165]	
<b>第五章 彈性基礎上之梁</b> .....	173
5.1. 一般理論 (Generous Theory) [173]	5.2. 無限之樑 (The Infinite Beam) [177]
5.3. 半無限樑 (Semi-infinite Beams) [191]	5.4. 有限樑 (Finite Beams) [198]
5.5. 應用：圓筒狀薄殼 (Cylindrical Shells) [201]	
<b>習題</b> .....	A-1
<b>習題答案</b> .....	A-25

# 扭轉

## § 1-1 非圓形截面 (Non-circular Prisms)

一般較實用且普及之扭轉構件，係採實心或空心之圓形截面為主，因此類結構之理論與分析甚為簡易；吾人當解到該圓之正截面的剪應力為沿正切之線向，其大小可表為：

$$S_t = \frac{M_t r}{I_p} = \frac{M_t r}{\frac{\pi}{2} R^4} \quad (1-a)$$

式中： $R$  為軸之外半徑； $r$  ( $r \leq R$ ) 為欲求應力處之半徑； $M_t$  係該軸上之扭矩。同時吾人亦知扭轉角  $\theta$  係自下式可定之：

$$\theta = \frac{M_t l}{G I_p} \quad (1-b)$$

以上二式之導得：係假設（實據對稱之理論）原截面於扭矩產生後仍維持一平面，以及各截面處其自身平面內不生扭曲（Distortion）之現象。

今欲試求均勻而非圓形之截面，受扭轉後之可用公式。（所謂均勻係各方向呈同長度者）。但對此軸之截面已不可能欲求原截面仍維持一平面，或該自身平面內不生扭曲者，緣由上述圓截面之論證，係

具以該中心點爲旋轉之對稱特性而獲得矣！

假設該原截面保持一平面且無扭曲產生者，則如圓截面之構件，將可斷論該剪應力必沿各同心圓之切線向上。然對非圓形截面之構件，則顯見爲不真確，參閱圖 1-1，如果有截面周邊處之應力不正切於邊界，乃生一個垂直於邊界之分應力，該分應力須在軸之自由外表面上附生另一剪應力，但此剪應力實爲不存在者，故截面上之剪應力必須正切於截面之邊界才行。今舉一矩形截面爲特例，因在該尖角處不能同時俱存兩個正切於邊界之應力，因此其尖角處之切向剪應力應爲零。

圖 1-2 表受扭轉作用之圓軸與方形圓軸，二者之邊界面原爲平行於中心軸線之縱向直線，因扭轉而具一小扭角  $\gamma$  之螺線。對圖 1-2a 之圓軸，設取一小單元  $dr \cdot rd\theta \cdot dl = dv$ ，並設未扭轉前各邊界角均爲  $90^\circ$ ，而扭轉後仍設原平面爲一平面，故得  $(90 - \gamma)$  之角（見圖

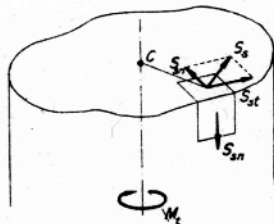


圖 1-1 設截面周邊上之剪應力  $s_s$  為沿半徑垂直於過扭轉中心  $C$  者，仍將之分爲切向  $s_{tt}$  與正向  $s_{nn}$  之分力。但正向分應力  $s_{nn}$  須在自由外表面上附生應力，而其實爲不存在者，故正向分應力  $s_{nn}$  應係不存在也。

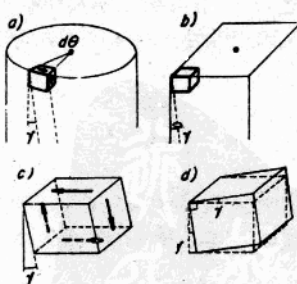


圖 1-2 設方形截面受扭轉後，該原平面仍持一平面，則位尖角處必具剪應力如圖(c)所示者。惟有當正截面具局部傾斜如圖(d)所示之狀況下，其尖角處剪應力爲零才有可能。故僅圖(a)所示之圓截面之原有平面才能爲一平面。

1-2c)。該項扭轉角  $\gamma$  為扭轉所生剪應力所致。今繼試取方軸上某一單元  $dx dy dl = dv$ ；同樣地，因扭轉力偶而生一小扭角  $\gamma$  之螺線，如該原平面仍持一平面，則此扭角  $\gamma$  亦應生圖(c)之剪應力。但誠然可見地，在其自由外表面上並不存有剪應力  $S_{nn}$ ，故知此為不可能。因此，惟有圖(d)所示之可能，為該截面之上表面亦須旋轉某一小角  $\gamma$ ，以維持原有之  $90^\circ$  角，故此自由外表面上無剪應力發生。意即該截面上某角之一小單元係垂直於螺線之縱邊。因而適用於方形截面之所有四邊，而知原截面為非平面，乃生縱向之屈曲(warping)現象。

至於圓截面，已知其原截面經扭轉後在其自身平面內並無扭曲現象。意即若在正截面上繪製互為正交之網線（如由一組同心圓與徑向線繪製者，或平行於  $x$  與  $y$  之正交線織成網格者），則當於扭矩作用後各正交角仍持為  $90^\circ$  者矣！對此特性之證實如圓截面者仍無法具有真確性。可是，在圖 1-3 中可見正截面發生扭曲之情況，當呈扭曲時，則於平行縱向之截面上必生剪應力，然此時在正截面之平面內不須有剪應力，惟有正截面之自身平面內之剪應力可合成扭矩，而圖 1-3 所示之應力為無助於抵抗扭矩。在以後之第 7 章中可知該種無用之應力絕不出現，因自然界常用最簡而易生之應力以抵抗已知之作用（此處指扭矩）。進而言之，抵抗之應力均為含有“最小之彈性能”也。圖 1-3 所示之應力，係不能抵抗扭矩，但可增加構件之內貯彈性能，所以為無用而不存在者。雖然此論斷未予證明，但對正截面在其自身平面內不生扭曲之分析，顯為合理。

據此初步之推論，乃進而探求非圓形之柱或構件之受扭轉作用之理論。

## § 1-2 聖恩凡能特氏理論 (Saint-Venant's Theory)

對非圓形之柱或構件之扭轉原理，係於 1855 年由聖恩凡能特氏

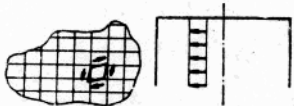


圖 1-3 某一扭轉軸如該正截面之本身平面內引生扭曲時，則沿平行軸截取縱向截面，必具剪應力，但該項剪應力不能合為一扭矩。事實上該剪應力並不存在，故正截面在其自身之平面內並無扭曲現象。

所發表及創立。其理論為於正剖面之平面內，截取“扭轉中心”(Center of Twist)為原點，(即扭轉時剖面轉動之中心點)，取 $x$ 及 $y$ 軸，並令縱向之中心線為 $z$ 軸；且在 $z=0$ 處，取基準剖面(想像中不轉動之剖面)。如圖1-4所示，則

$$\begin{aligned} 1. \quad u &= \theta_1 z \cdot y \\ v &= -\theta_1 z \cdot x \\ w &= f(x, y) \end{aligned} \quad (2)$$

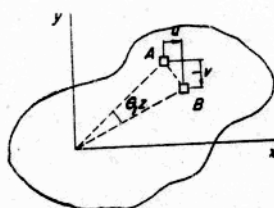


圖1-4 聖恩凡能特氏假設剖面無扭曲而係對一中心點作整體之轉動者，故於 $A$ 點轉 $\theta_1 z$ 角至 $B$ 點，並令其位移值為 $u$ 及 $v$ 時，此項運動可以公式(2)表示之。

式中： $u$ ， $v$ ， $w$ 表由 $A(x, y, z)$ 點扭轉至 $B$ 點時，在 $x, y, z$ 方向

之各位移值。 $\theta_1$ —該桿單位長度之扭轉角， $v, u$ —為距基準面 $z$ 剖面對原點作順時針之轉動角 $\theta_1 z$ ( $v$ 取負值因 $y$ 值減少)， $w$ —表示剖面在 $z$ 方向有 $w$ 值之屈曲，隨 $x, y$ 而異，而不隨 $z$ 而變動。

2. 在(2)式之位移公式中，若用“應變”(Strain)表示之，則：

①前二式表示正剖面無扭曲，故 $\epsilon_x = \epsilon_y = 0, \gamma_{xy} = 0$ 。

②其第三式表示各剖面作同樣之扭曲，故相鄰兩剖面上各點，其在 $z$ 方向之距離均同，即 $\epsilon_z$ 一定值。

③假如不計桿之縱向張力，即 $\epsilon_z = 0$ ，則剩餘 $\gamma_{zz}$ 及 $\gamma_{yz}$ 兩應變。

今就 $\gamma_{zz}$ 討論之：

(a) 取 $x-z$ 平面內( $y$ 為定值)之任一剖面，如圖1-5所示為平行於桿之縱向者。

(b) 扭轉單元 $ABCD$ 至 $A'B'C'D'$ ，即原為平面之 $z$ 及 $z+dz$ 扭曲成圖示之虛線，則 $m\angle C''A'C' = (\partial u / \partial z)$ ， $m\angle B'A'B'' = (\partial w / \partial x)$ ，今 $m\angle C'A'B' - m\angle CAB = (\partial u / \partial z) + (\partial w / \partial x)$ ，但此為 $x-z$ 平面內之應變，故

$$\gamma_{zz} = \frac{\partial u}{\partial z} + \frac{\partial w}{\partial x} \quad (a)$$

同理：對  $y - z$  平面乃以  $x \rightarrow y$   
即  $u \rightarrow v$  卽可得：

$$\gamma_{yy} = \frac{\partial v}{\partial z} + \frac{\partial w}{\partial y} \quad (b)$$

$$\text{且 } \epsilon_x = \epsilon_y = \epsilon_z = \gamma_{xy} = 0 \quad (c)$$

(c)由(2)式得  $\partial u / \partial z = \theta_1 y$ ,  $\partial v / \partial z = -\theta_1 x$  代入(a)和(b)式得

$$\gamma_{zz} = \theta_1 y + \frac{\partial w}{\partial x} \quad (3)$$

$$\gamma_{yy} = -\theta_1 x + \frac{\partial w}{\partial y}$$

(d)由虎克定律得  $(s_t)_{xy} = \epsilon \gamma_{xy}$ ,  $(s_t)_{yz} = \epsilon \gamma_{yz}$ , 則(3)式可改寫為：

$$(s_t)_{zz} = G [\theta_1 y + \frac{\partial w}{\partial x}] \quad (4)$$

$$(s_t)_{yy} = G [-\theta_1 x + \frac{\partial w}{\partial y}]$$

式中各應力之正負號，可由圖 1-6 中決定之一依右手系。

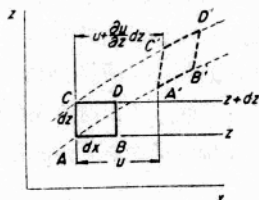


圖 1-5 該圖係導出應變  $\gamma_{zz}$  之表示式。在垂直  $xy$  平面內原為  $dx dz$  之小單元  $ABCD$  經扭轉後則改為  $A'B'C'D'$  之處

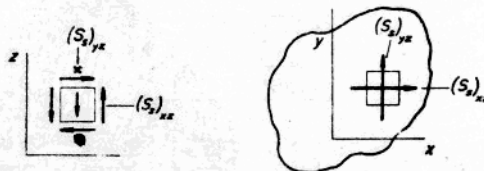


圖 1-6 表  $(s_t)_{yy}$  及  $(s_t)_{zz}$  之正負值， $z$  軸向上，故  $x, y, z$  三軸線成一右手系 (Right-Hand System)。複記式  $xx$  表示  $xz$  平面內小單元上四邊之剪應力。“x”符號表示箭頭可見之尾端，“.”符號表示箭頭可見之前端。

3. 平衡方程式之導出 (derivation of the equation of equilibrium)

因正剖面  $xy$  上之剪應力非定值，即隨各點位置而異。（在圓剖面上，中心點之應力為 0，並隨中心之距離作直線式之增加）。

- (a) 如圖 1-7 所示，取小單元  $dxdydz$  中相對表面上之應力而彼此具微差值。且以離原點較近 ( $x$  較小) 之  $dydz$  表面 (圖示虛線) 為例。則在原  $dydz$  表面上右面相距  $dx$  處上之應力為：

$$(s_s)_{zz} + d(s_s)_{zz} \quad \text{或} \quad (s_s)_{zz} + \frac{\partial}{\partial x} (s_s)_{zz} dx$$

故此組  $dydz$  面上，未平衡之應力為：

$$\frac{\partial}{\partial x} (s_s)_{zz} dx$$

而未平衡之力為：

$$[\frac{\partial}{\partial x} (s_s)_{zz} dx] dydz$$

- (b) 同理得  $dxdz$  面上之未平衡之力為：

$$[\frac{\partial}{\partial y} (s_s)_{yy} dy] dxdz$$

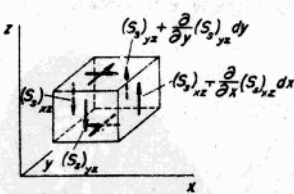


圖 1-7 該圖係表平衡方程式之導出。因單元在垂直( $z$ )向上之平衡，知必滿足式(5)。但水平 ( $x$  及  $y$ ) 向上之平衡，因各應力係  $x$  及  $y$  之函數，與  $z$  無關，故可自動適合平衡條件。〔請參閱式(4)與式(2)之最後一式〕。

- (c) 但在扭轉桿中之小單元顯係處於平衡狀態，而除上述兩力外並無其他垂直方向之力或應力，故得

$$[\frac{\partial}{\partial x} (s_z)_{xz} dx] dy dz + [\frac{\partial}{\partial y} (s_z)_{yz} dy] dx dz = 0$$

或  $\frac{\partial}{\partial x} (s_z)_{xz} + \frac{\partial}{\partial y} (s_z)_{yz} = 0 \quad (5)$

- (d) 於(5)式中  $(s_z)_{xz}$  及  $(s_z)_{yz}$  均為變數  $x$  及  $y$  之函數之偏微分，為了方便求解，以能代為單一  $x$ ， $y$  之函數運算較方便，聖恩凡能特乃先另設一函數  $\Phi(x, y)$ ，且

$$(s_z)_{yz} = + \frac{\partial \Phi}{\partial x} \quad (6)$$

$$(s_z)_{xz} = - \frac{\partial \Phi}{\partial y}$$

- (e) 以(6)式代入(5)式得： $\partial^2 \Phi / \partial x \partial y = \partial^2 \Phi / \partial y \partial x$ ，則顯示任意函數  $\Phi$  適合(5)式，只須  $\Phi$  為一連續函數 (continuous function)。稱  $\Phi$  為應力函數 (stress function) 或 聖恩凡能特氏扭轉應力函數 (Saint-Venant's torsion stress function)。
- (f) 為求  $\Phi$  函數之值，可用  $xy$  平面為基準而作垂直描繪而得一曲面。而公式(6)說明  $y$  方向之應力  $(s_z)_{yz}$ ，係  $\Phi$  曲面在  $x$  方向之斜度 (slope)；同時在  $x$  方向之應力  $(s_z)_{xz}$ ，則係  $\Phi$  曲面在  $y$  方向之斜度 (負值)。廣言之，在任意方向之分應力，等於在其垂直方向處  $\Phi$  曲面之斜度。又由圖 1-1 中知正交於周界處之分應力  $s_{nn}$  應為零，故  $\Phi$  曲面沿周界處之斜度必為零，即  $\Phi$  曲面沿周界處之高度當為定值。乃可視  $\Phi$  曲面為一小丘，以水平面切之而得“等高線” (contour lines)，而剪應力必沿此種等高線而作用。以圓剖面桿受扭轉而言，其  $\Phi$  小丘為拋物線迴轉體 (Paraboloid of revolution)，而其等高線即為同心圓。
- (g) 於圖 1-8 中，取  $A$  點處之小單元，其上之應力為  $(s_z)_{xz}$  及  $(s_z)_{yz}$ ，經  $A$  點對任意方向  $\alpha$  作  $AB$  線，且

$$\overrightarrow{AB} = d\mathbf{n} \qquad \overrightarrow{CD} \perp \overrightarrow{AB}$$

故  $AE = dx$ ,  $EB = dy$

$$\frac{dx}{dn} = \cos \alpha$$

由圖知

$$\frac{dy}{dn} = \sin \alpha$$

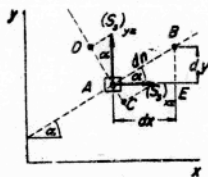


圖 1-8 用以證明應力函數之曲面，在任意向  $\alpha$  之斜度等於垂直於此方向之分剪應力值。

對小單元上各點因其上有小丘形之  $\Phi$  函

數覆蓋，故得一般式：

$$d\Phi = \frac{\partial \Phi}{\partial x} dx + \frac{\partial \Phi}{\partial y} dy$$

$$\text{or } \frac{d\Phi}{dn} = \frac{\partial \Phi}{\partial x} \frac{dx}{dn} + \frac{\partial \Phi}{\partial y} \frac{dy}{dn}$$

將(6)式代入上式得：

$$\frac{d\Phi}{dn} = (s_x)_{zz} \cos \alpha - (s_y)_{zz} \sin \alpha$$

$$\text{但由圖 1-8 得: } \frac{d\Phi}{dn} = \overline{AD} - \overline{AC}$$

此為垂直於  $AB$  方向亦即  $DAC$  方向之分應力，而因  $d\Phi/dn$  係  $\Phi$  曲面在  $B$  方向之斜度，故前述廣義性說法得證正確。

由(4)式及(6)式得：

$$(s_x)_{zz} = - \frac{\partial \Phi}{\partial y} = G (\theta_1 y + \frac{\partial w}{\partial x}) \quad (7)$$

$$(s_y)_{zz} = \frac{\partial \Phi}{\partial x} = G (-\theta_1 x + \frac{\partial w}{\partial y})$$

式中  $w$  為剖面之扭曲值為未知數，但此項扭曲中應無突變或分裂存在（因  $w$  及其導式均為  $x$  及  $y$  之連續函數），其連續性之數學涵義即為：

$$\frac{\partial^2 w}{\partial x \partial y} = \frac{\partial^2 w}{\partial y \partial x}$$

對(7)式偏微分：

$$\begin{aligned} \textcircled{1} \quad \frac{\partial}{\partial y} : \quad -\frac{\partial^2 \Phi}{\partial y^2} &= G \left( \theta_1 + \frac{\partial^2 w}{\partial x \partial y} \right) && \nearrow \text{相減} \\ \frac{\partial}{\partial x} : \quad \frac{\partial^2 \Phi}{\partial x^2} &= G \left( -\theta_1 + \frac{\partial^2 w}{\partial y \partial x} \right) && \swarrow \end{aligned}$$

$$\frac{\partial^2 \Phi}{\partial x^2} + \frac{\partial^2 \Phi}{\partial y^2} = -2G\theta_1 \quad (8)$$

$$\begin{aligned} \textcircled{2} \quad \frac{\partial}{\partial x} : \quad -\frac{\partial^2 \Phi}{\partial y \partial x} &= G \left( \frac{\partial^2 w}{\partial x^2} \right) && \nearrow \text{相加} \\ \frac{\partial}{\partial y} : \quad \frac{\partial^2 \Phi}{\partial x \partial y} &= G \left( -\frac{\partial^2 w}{\partial y^2} \right) && \swarrow \end{aligned}$$

$$-\frac{\partial^2 \Phi}{\partial y \partial x} + \frac{\partial^2 \Phi}{\partial x \partial y} = 0 = G \left( \frac{\partial^2 w}{\partial x^2} + \frac{\partial^2 w}{\partial y^2} \right)$$

$$\text{or} \quad \frac{\partial^2 w}{\partial x^2} + \frac{\partial^2 w}{\partial y^2} = 0 \quad (9)$$

公式(9)係一偏微分方程，用以求扭曲函數  $w$ 。

從公式(8)知係含應力函數  $\Phi$  之偏微分方程，已知任意函數  $\Phi$  適從平衡方程式(5)之應力，若此任意函數  $\Phi$  同時係適合公式(8)，則所得應力同時適合扭曲函數  $w$  之連續性。否則，所得應力雖屬平衡，但其扭曲函數並無連續性。故式(8)為一連續性之條件式。即彈性力學上所謂「連貫式」(Equation of compatibility)。因此，對一已知剖面，若能求得一適從式(8)，並適合沿周界之  $\Phi =$  定值(邊界條件)之函數  $\Phi$  時，由此而得之應力，即此扭轉問題之確解。

#### 4. 軸內之扭力 (Torque in shaft)

(a) 對由軸所傳送之扭力之計算式，由圖 1-9a 所示，取一小單元  $dA = dx dy$ ，對原點所生之時針向扭力為：